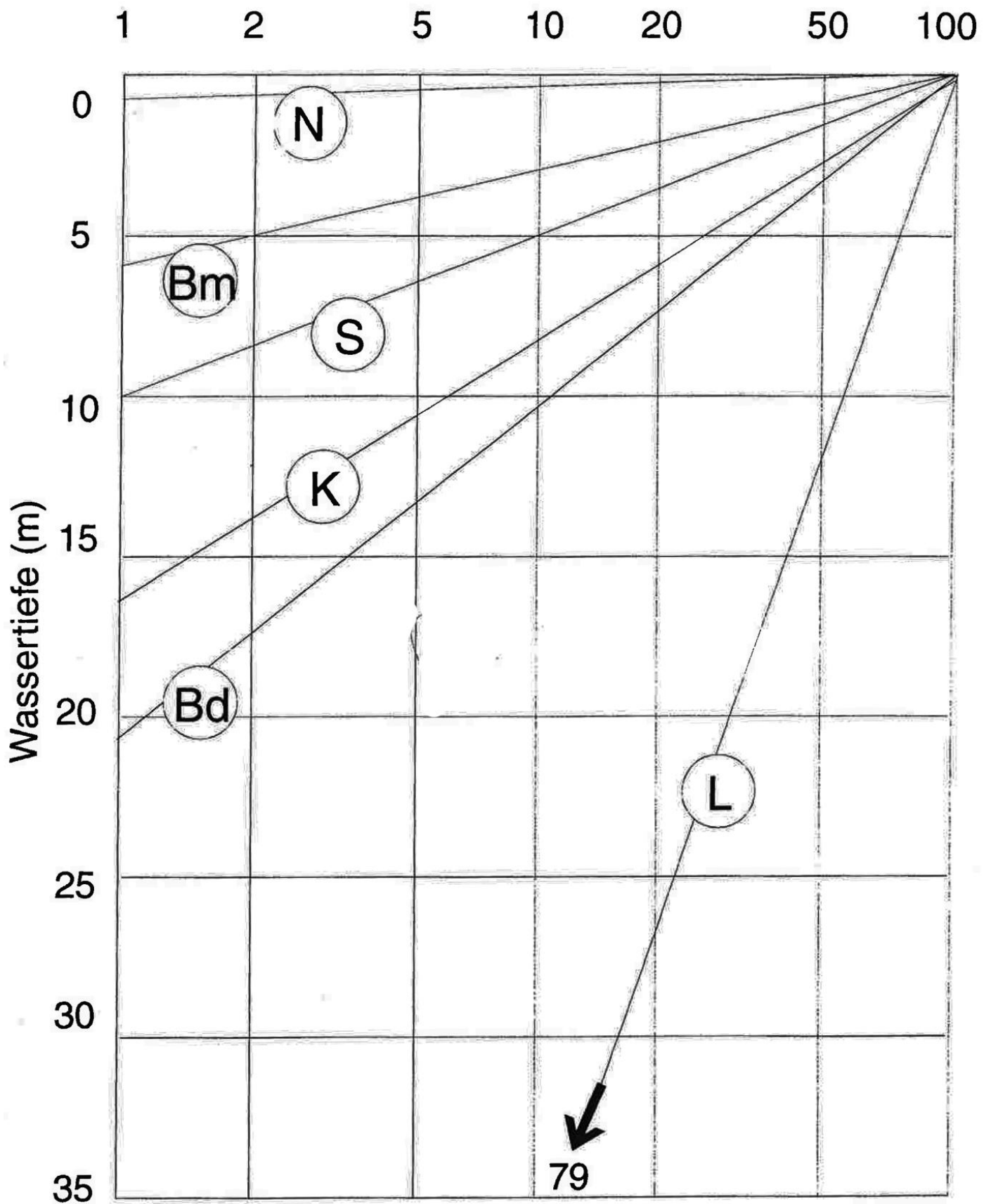
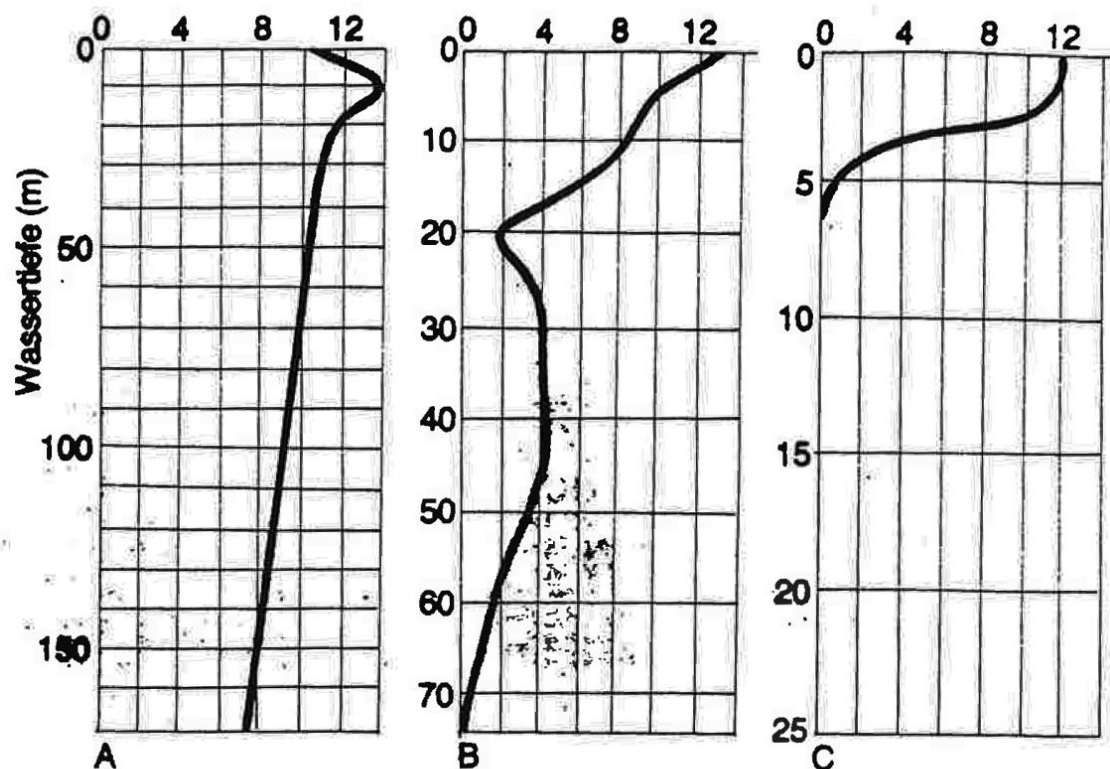


% Oberflächenstrahlung (PAR)



N = Nakurusee (Kenia); Bm = Bodensee (Mai);
 S = Schönensee (Holstein); K = Königsee; Bd =
 Bodensee (Dezember); L = Lake Tahoe (Kalifornien)



Typische Sauerstoffkurven während der Sommerstagnation.

- A: Der oligotrophe Königsee (5. 7. 1980) hat eine nahezu orthograde Sauerstoffkurve (nach Siebeck 1982).
 B: Der tiefe, eutrophe Bieler See in der Schweiz (11. 10. 1976) zeigt eine negativ heterograde Sauerstoffkurve (nach Tschumi 1977).
 C: Der eutrophe, windgeschützte Plußsee in Holstein (4. 9. 1989) hat eine stark clinograde Kurve (Daten von H. J. Krambeck)

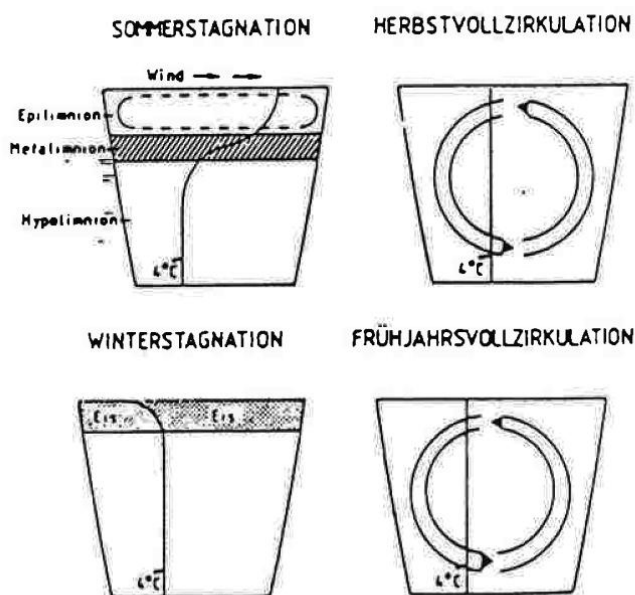
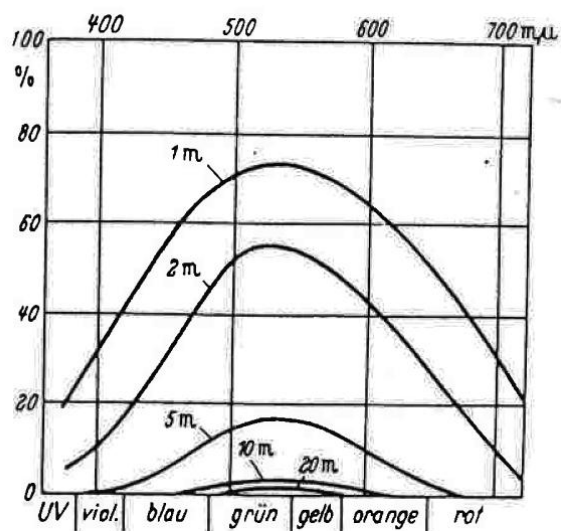


Abb. 14 Schichtung und Zirkulation im dimiktischen See (nach ELSTER 1964).



Intensität und spektrale Zusammensetzung des Lichtes in verschiedenen Tiefen des Lunzer Untersees (Sichttiefe 8—12 m), in Prozenten der auf die Oberfläche auffallenden Strahlung nach Sauberer (1939) (Sommerdurchschnittswerte bei mittlerer Sonnenhöhe)

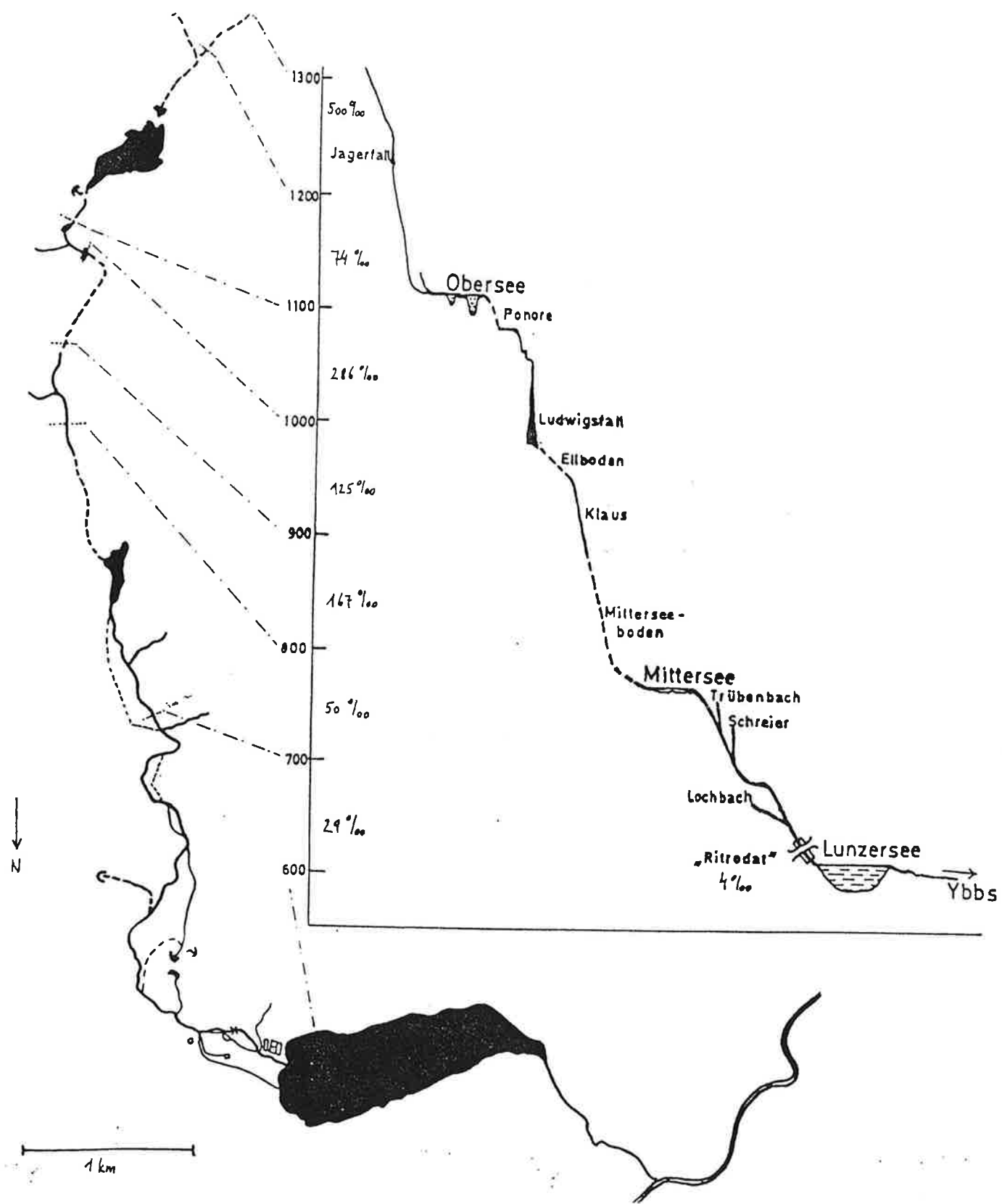
Rezeptur der Forel-Ule-Skala

Stammlösung I: 0.5 g CuSO_4 + 5 cm^3 NH_3 + 95 cm^3 Aqua dest.

Stammlösung II: 0.5 g neutrales Kaliumchromat + 100 cm^3 Aqua dest.

Stammlösung III: 0.5 g Kobaltsulfat + 5 cm^3 NH_3 + 95 cm^3 Aqua dest.

Forel-Skala:	1	2	3	4	5	6	7	8	9	10	11	12	13
Lösung I:	100	98	95	91	86	80	73	65	56	46	35	23	10
Lösung II:	0	2	5	9	14	20	27	35	44	54	65	77	90
Ule-Skala:	14	15	16	17	18	19	20	21	22	23			
Lösung I:	35	35	35	35	35	35	35	35	35	35			
Lösung II:	60	55	50	45	40	35	30	25	20	15			
Lösung III:	5	10	15	20	25	30	35	40	45	50			



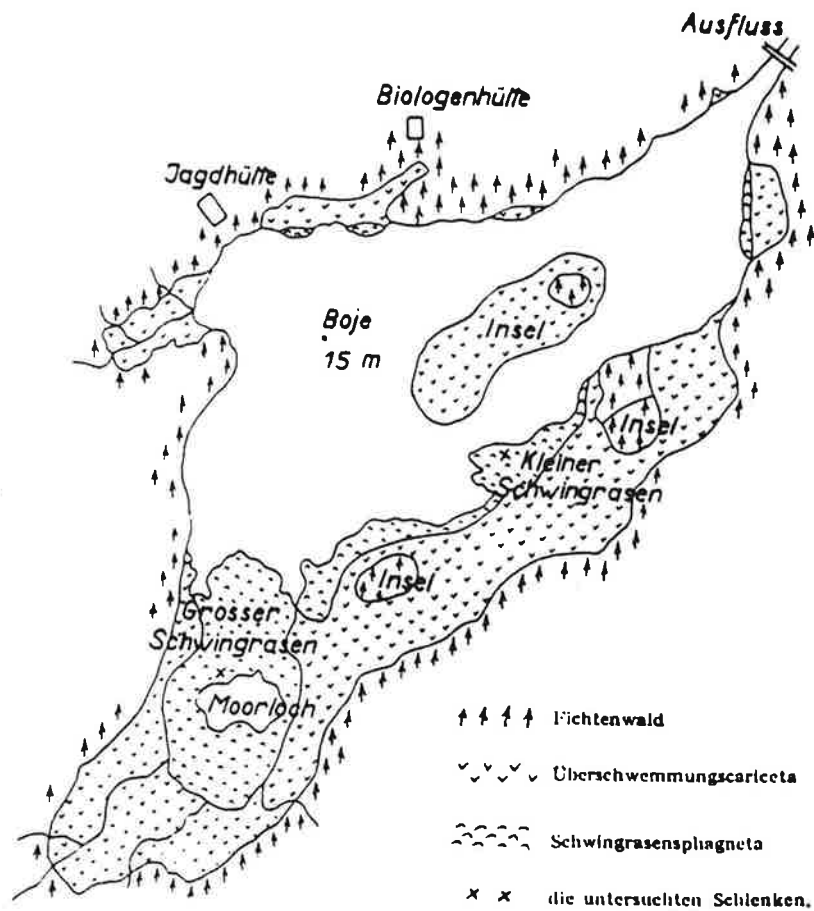


Abb. 1.
Vegetationskarte des Lunzer Obersees. Nach Göttinger und Gams.
Maßstab 1 : 5000.

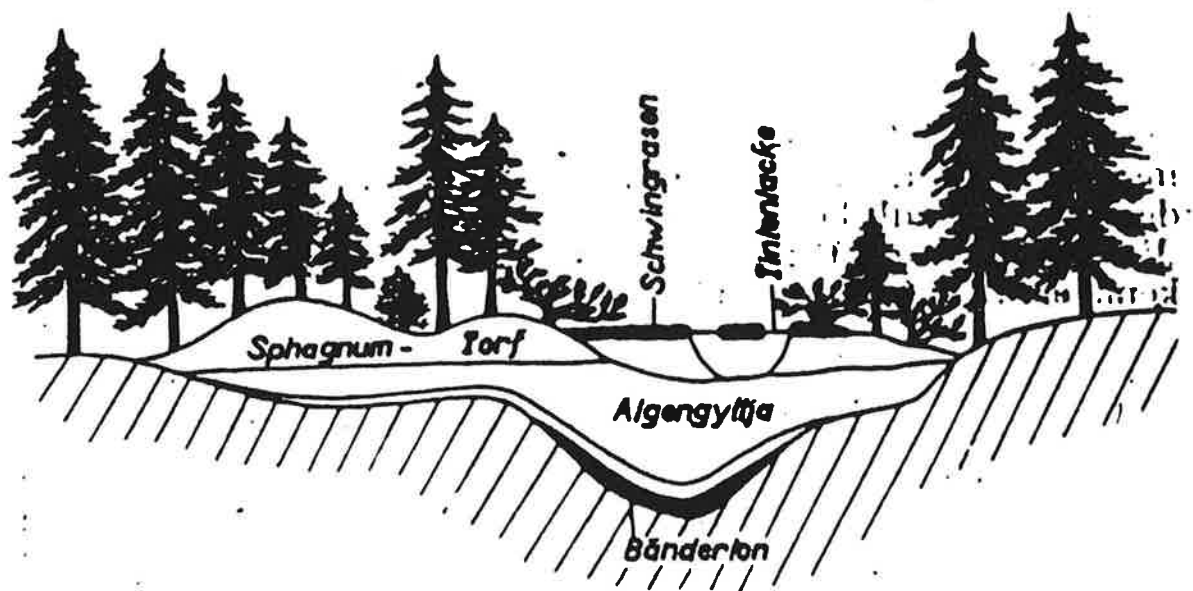
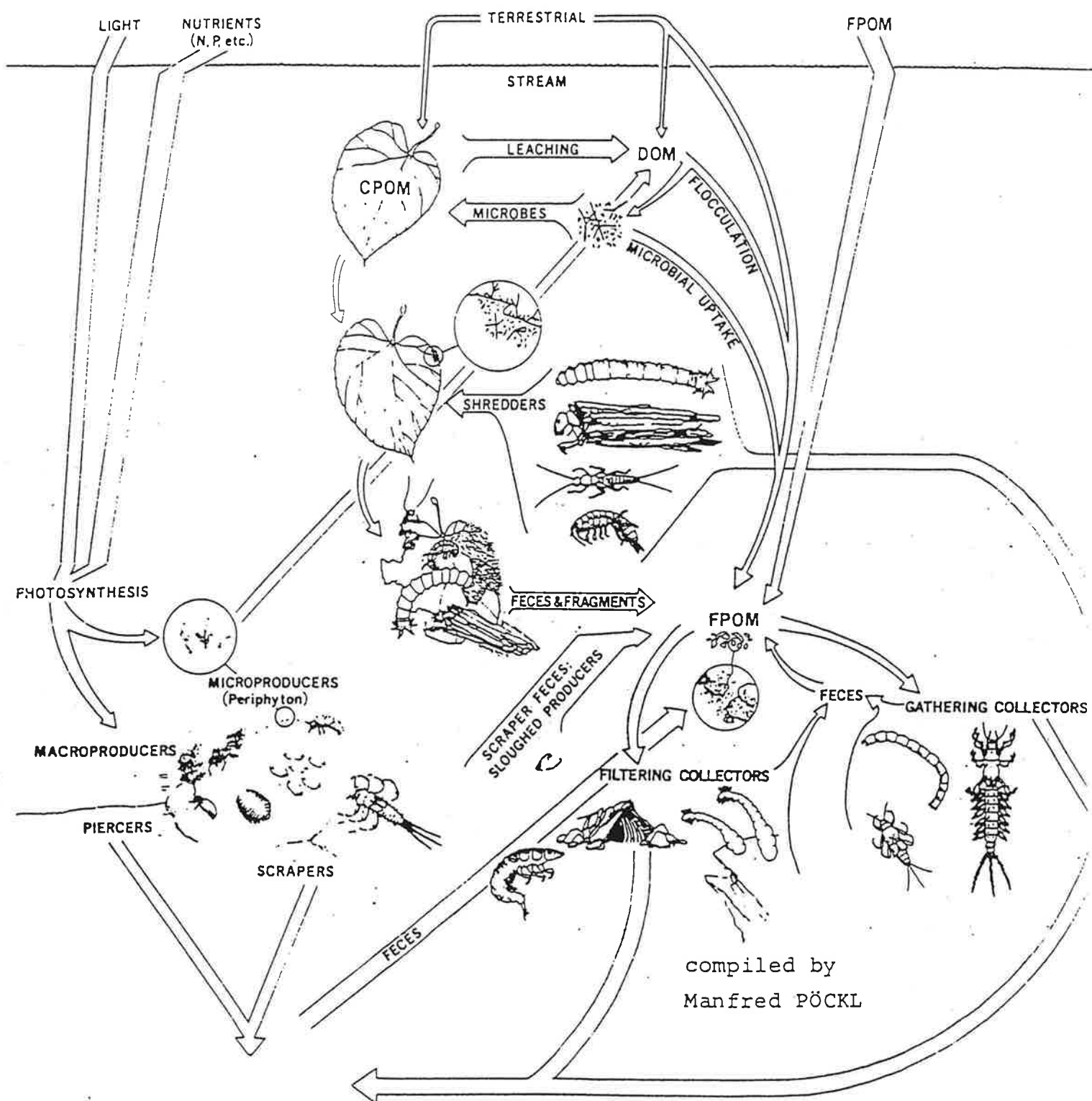
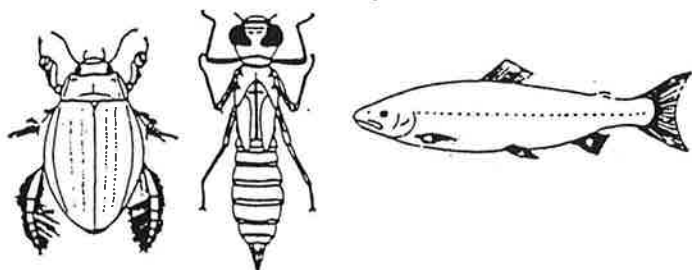


Abb. 5.
Profil durch das vordere Rotmoos. Teil einer Handzeichnung von H. Gams, 1927.



compiled by
Manfred PÖCKL



after: Kenneth W. Cummins, 1979
Feeding ecology of Stream
Invertebrates.
Ann. Rev. Syst. 10, 147-172.